

# Laboratorium Podstaw Robotyki

Politechnika Poznańska  
Katedra Sterowania i Inżynierii Systemów

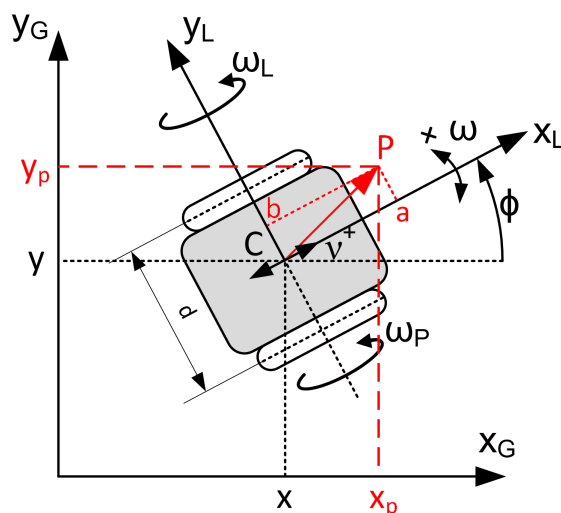
## ĆWICZENIE 3

### KINEMATYKA I LOKALIZACJA DWUKOŁOWEGO ROBOTA MOBILNEGO

*Celem ćwiczenia jest wyprowadzenie modelu kinematyki dwukołowego robota mobilnego oraz poznanie budowy i zasady działania systemu pomiarowego odometrii inkrementalnej służącego do określania bieżącej pozycji i orientacji platformy robota w globalnym układzie współrzędnych.*

## 1 Kinematyka dwukołowego robota mobilnego

Model kinematyki dowolnego systemu mechanicznego wynika z matematycznych relacji wiążących wszystkie prędkości występujące w rozważanym systemie. Uwaga nasza skupiona zostanie na prostym modelu robota dwukołowego przedstawionego na rys. 1. Na rysunku tym zaznaczono lokalny  $\{x_L, y_L\}$  oraz globalny  $\{x_G, y_G\}$  układ współrzędnych. Środek układu lokalnego przywiązano na osi kół i w połowie odległości pomiędzy kołami. Pozycję oraz orientację platformy wyrażoną w układzie globalnym oznaczono odpowiednio jako  $x, y$  oraz  $\varphi$  (zwrot strzałki oznacza dodatni przyrost kąta orientacji). Zaznaczono także prędkości kątowe kół: prawego  $\omega_P$  i lewego  $\omega_L$  oraz prędkości związane z całą platformą: prędkość postępową  $v$  początku układu lokalnego (znak  $+$  oznacza dodatni zwrot prędkości) oraz prędkość kątową  $\omega$  (znak  $+$  oznacza dodatni kierunek obrotu platformy). Przy założeniu braku poślizgu kół (zarówno poślizgu wzdłużnego



Rysunek 1: Dwukołowy robot mobilny w globalnym układzie współrzędnych.

jak i poprzecznego), relacje wiążące prędkości kół z prędkościami postępową  $v$  i kątową  $\omega$  całej platformy są następujące [1]:

$$v(t) = \frac{v_P(t) + v_L(t)}{2} = \frac{[\omega_P(t) + \omega_L(t)]R}{2}, \quad (1)$$

$$\omega(t) = \frac{v_P(t) - v_L(t)}{d} = \frac{[\omega_P(t) - \omega_L(t)]R}{d}, \quad (2)$$

gdzie  $v_L$  i  $v_P$  oznaczają liniowe prędkości związane z obwodem odpowiednio lewego i prawego koła,  $R$  jest długością promienia koła, a wartość  $d$  oznacza rozstaw między kołami (por. rys. 1). W oparciu o prostą interpretację geometryczną i korzystając z rysunku 1 można zapisać następujące relacje różniczkowe [2]:

$$\dot{\varphi} = \omega, \quad (3)$$

$$\dot{x} = v \cos \varphi, \quad (4)$$

$$\dot{y} = v \sin \varphi, \quad (5)$$

gdzie  $\dot{x} \equiv v_x$  i  $\dot{y} \equiv v_y$  oznaczają składowe prędkości postępowej platformy wyznaczone jako ortogonalne rzuty na poszczególne osie układu bazowego  $\{x_G, y_G\}$ .

- 1.1 Korzystając z zależności (3)-(5) wyznaczyć macierzowe równanie stanu robota dwukolowego przyjmując wektor stanu  $\mathbf{q} \triangleq [\varphi \ x \ y]^T$  oraz sterowanie  $\mathbf{u} \triangleq [\omega \ v]^T$ .
- 1.2 Korzystając z zależności (1)-(5) wyznaczyć macierzowe równanie stanu robota dwukolowego przyjmując wektor stanu  $\mathbf{q} \triangleq [\varphi \ x \ y]^T$  oraz sterowanie  $\mathbf{u} \triangleq [\omega_P \ \omega_L]^T$ .

Punkt  $P$  stanowi odsunięcie wskaźnika (punktu referencyjnego) od środka łączącego osie robota. W układzie lokalnym współrzędne punktu  $P$  wynoszą  $P = [a, b]$ , zaś w układzie zewnętrznym:

$$P = \begin{bmatrix} x \\ y \end{bmatrix} + R(\varphi) \begin{bmatrix} a \\ b \end{bmatrix}$$

gdzie:  $R(\varphi) = \begin{bmatrix} \cos \varphi & -\sin \varphi \\ \sin \varphi & \cos \varphi \end{bmatrix}$ .

## 2 Lokalizacja – obliczanie pozycji i orientacji robota

Aby robot mógł bezpiecznie poruszać się w danym otoczeniu, musi on mieć możliwość określenia swojego położenia względem otaczających go przeszkód. Zwykle zadanie to realizowane jest poprzez budowę mapy otoczenia i okresowe wyznaczanie współrzędnych pozycji oraz orientacji robota w globalnym układzie współrzędnych (wyznaczanie lokalizacji robota). Do wyznaczenia położenia i orientacji konieczna jest znajomość modelu kinematyki platformy.

Powszechnie stosowaną techniką służącą do określania lokalizacji kołowych robotów mobilnych jest odometria, która polega na wyznaczaniu położenia i orientacji robota na podstawie pomiarów obrotu kół za pomocą przetworników obrotowo-impulsowych (enkoderów) sprzężonych mechanicznie z kołami robota [3]. Na podstawie ciągu impulsów wyznaczana jest zmiana pozycji kątowej każdego z kół w przyjętej jednostce czasu, pozwalając na obliczenie prędkości kół:  $\omega_P, \omega_L$ . Prędkości te z kolei pozwalają na obliczenie prędkości platformy robota zgodnie z zależnościami (1) oraz (2). Układ odometrii inkrementalnej oblicza bieżące wartości pozycji i orientacji platformy w następujący sposób:

$$\begin{aligned} \varphi(t) &= \varphi(0) + \int_0^t \omega(\tau) d\tau = \varphi(0) + \int_0^t \frac{[\omega_P(\tau) - \omega_L(\tau)]R}{d} d\tau, \\ x(t) &= x(0) + \int_0^t v_x(\tau) d\tau = x(0) + \int_0^t \frac{[\omega_P(\tau) + \omega_L(\tau)]R}{2} \cos \varphi(\tau) d\tau, \\ y(t) &= y(0) + \int_0^t v_y(\tau) d\tau = y(0) + \int_0^t \frac{[\omega_P(\tau) + \omega_L(\tau)]R}{2} \sin \varphi(\tau) d\tau, \end{aligned} \quad (6)$$

gdzie  $x(0), y(0)$  i  $\varphi(0)$  oznaczają wartości początkowe współrzędnych pozycji i orientacji platformy.

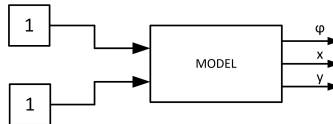
Należy pamiętać, iż odometria najczęściej jest implementowana w postaci dyskretnej i realizowana za pomocą układów cyfrowych. W związku z tym równania (3)-(5) należy przedstawić w postaci równań różnicowych stosując jedną ze znanych metod dyskretyzacji. Dla przykładu, równania (6) wynikające z dyskretyzacji modelu (3)-(5) metodą *Eulera wstecz* mają następującą postać [3]:

$$\begin{aligned}\varphi(n) &= \varphi(n-1) + T_p \omega(n), \\ x(n) &= x(n-1) + T_p v_x(n), \\ y(n) &= y(n-1) + T_p v_y(n),\end{aligned}\tag{7}$$

gdzie:  $\omega(n) = \frac{[\omega_P(n) - \omega_L(n)]R}{d}$ ,  $v_x(n) = \frac{[\omega_P(n) + \omega_L(n)]R}{2} \cos \varphi(n)$  oraz  $v_y(n) = \frac{[\omega_P(n) + \omega_L(n)]R}{2} \sin \varphi(n)$ , a  $T_p > 0$  jest przyjętym okresem próbkowania.

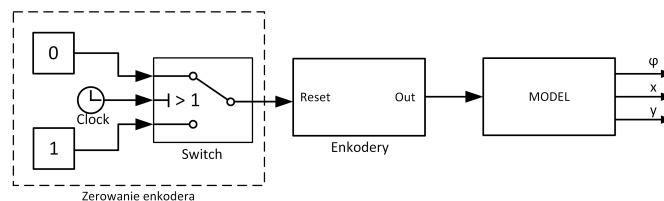
## 2.1 Konfiguracja środowiska (Windows XP)

- 2.1** W środowisku Matlab-Simulink utworzyć schemat blokowy realizujący obliczenia lokalizacji platformy w oparciu o sygnały prędkości kątowych  $\omega_P$  oraz  $\omega_L$ . Obliczyć i uwzględnić w programie współrzędne punktu  $P$ , przyjmując  $b = 0$ . Sprawdzenie algorytmu należy wykonać dla stałych i sinusoidalnie zmiennych prędkości  $\omega_P, \omega_L$  (rys. 2). Przed realizacją ćwiczenia należy utworzyć własny podkatalog w katalogu D:\Laboratorium\Robotyka\cw3, w którym należy zapisywać wyniki.



Rysunek 2: Schemat realizujący obliczenia lokalizacji platformy robota w oparciu o sygnały zadane przez użytkownika

- 2.2** Powyższy schemat blokowy zmodyfikować tak, by sygnały prędkości kół robota  $\omega_P$  oraz  $\omega_L$  były rzeczywistymi sygnałami wózka dwukołowego połączonego z kartą RT-DAC4/PCI D (rys. 3).

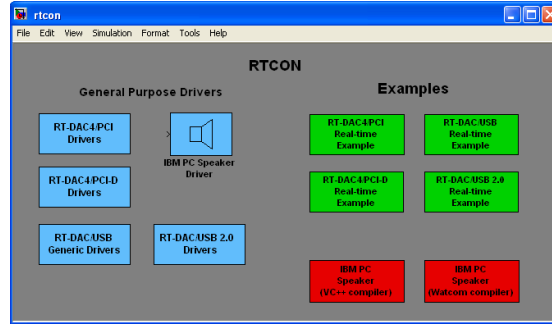


Rysunek 3: Schemat realizujący obliczenia lokalizacji platformy robota w oparciu o sygnały z enkoderów

Aby powyższy schemat blokowy przygotować do współpracy z kartą RT, należy skorzystać z biblioteki Simulink'a *RTCON* (rys. 4).

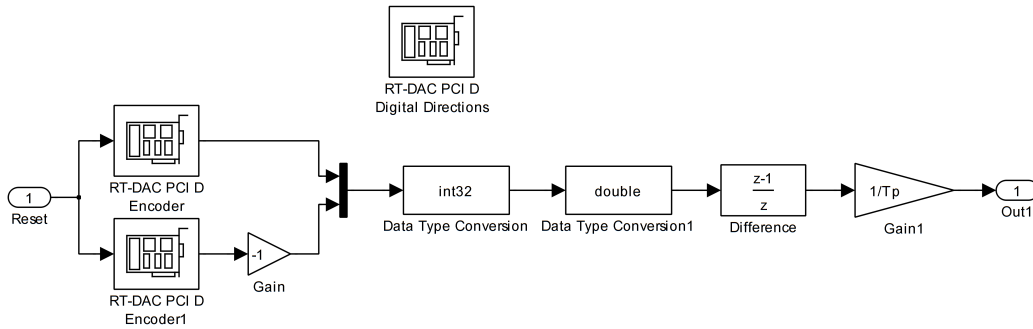
Uruchomienie biblioteki następuje poprzez wpisanie w *Command Window* programu *MATLAB* polecenia **rtcon**.

Wybór odpowiednich funkcji następuje po dwukrotnym kliknięciu i otwarciu bloku sterowników z grupy *General Purpose Drivers*.



Rysunek 4: Widok głównego okna pakietu RT-CON

Sposób realizacji bloku *Enkodery* z rysunku 3 przedstawia rysunek 5.



Rysunek 5: Schemat realizacji odczytu z enkoderów w czasie rzeczywistym

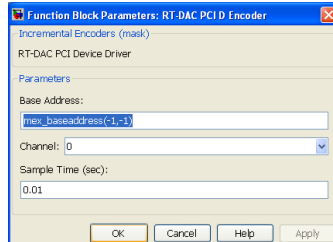
W zmodyfikowanym schemacie blokowym sygnały prędkości kątowych  $\omega_P, \omega_L$  należy skojarzyć z kartą RT poprzez blok *RT-DAC PCI D Encoder*, który jest programowym licznikiem impulsów zbierającym impulsy z dwóch linii przetworników dla koła prawego i lewego. Na wyjściach tego bloku otrzymuje się zarejestrowaną w jednostce czasu  $T_p = \text{const}$  liczbę impulsów enkoderów obu kół platformy. Wartość tego czasu oraz liczba impulsów stanowią podstawę do wyznaczenia chwilowych prędkości kół robota. Do obliczenia prędkości  $\omega_L$  i  $\omega_P$  konieczne jest przeskalowanie otrzymanych wartości wyjściowych bloku *RT-DAC PCI D Encoder* stosując następujący współczynnik skalujący (na wyjściu z bloku *Enkodery*):

$$\mathbf{K} = \frac{2\pi}{N}, \quad (8)$$

gdzie  $\mathbf{N} = 648$  oznacza liczbę impulsów przetwornika przypadającą na jeden obrót koła platformy mobilnej, a  $\mathbf{T}_p = 0.01[s]$  jest przyjętym (stałym) okresem próbkowania. Wartości parametrów  $R$  i  $d$  występujące w równaniach (6) muszą odpowiadać geometrycznym wymiarom rzeczywistej platformy mobilnej:

$$\mathbf{R} = 0.021[m], \quad \mathbf{d} = 0.073[m]. \quad (9)$$

- 2.3 W celu poprawnego odczytu impulsów z enkoderów należy określić w bloku *RT-DAC PCI D Encoder* jego adres oraz kanał. Odczyt następuje na kanale '0' dla lewego koła, oraz '1' dla koła prawego. Konfigurację enkodera dla kanałów '0' oraz '1' przedstawia rysunek 6, gdzie w miejscu *Base Address* należy wpisać wartość **57088** będącą adresem konkretnego wejścia z enkodera na karcie RT.



Rysunek 6: Konfiguracja enkodera

- 2.4 W oknie, w którym tworzymy schemat blokowy dokonać ustawień następujących parametrów symulacji:

*Simulation → Configuration Parameters → Solver:*

- Stop time → 9999999,
- Type-FixedStep → ode1,
- FixedStepSize → 0.01,
- Tasking Mode → SingleTasking.

*Simulation → Configuration Parameters → Code Generation:*

- System target file → rtcon.tlc (Browse...),
- Language → C,
- Description → RT-CON (Visual C/C++).

*Simulation → Configuration Parameters → Code Generation → Interface:*

- Data exchange → Interface: External Mode,
- Host/Target interface → Transport layer: RT-CON tcpip.

*Simulation → Configuration Parameters → Code Generation → RT-CON options:*

- Display start-up message → TAK,
- Append RT-DAC/USB drivers → NIE,
- Append RT-DAC/PCI drivers → TAK.

- 2.5 Po ustawieniu parametrów symulacji uruchomić kompilację modelu :

*Simulation → Configuration Parameters → Code Generation → BUILD:*

- 2.6 W wyniku poprawnego procesu kompilacji w oknie poleceń MATLABa zostaną wyświetlone następujące komunikaty:

```
### Created RT-CON executable: NAZWA_PLIKU.dll
```

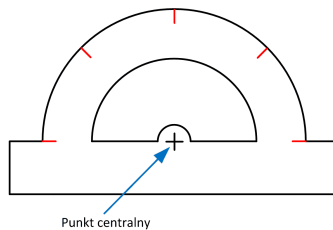
```
### Successful completion of build procedure for model: NAZWA_MODELU
```

Aby uruchomić tryb pracy *real-time* należy ustawić w głównym oknie symulacji tryb pracy **External** (zamiast *Normal*), a następnie uruchomić *Simulation → Connect to target*.

Zatwierdzić **OK** w oknie informacyjnym kompilacji oraz uruchomić tryb *Start real-time code*.

### 3 Przebieg ćwiczenia

- 3.1 Przyjąć punkt centralny kątomierza jako punkt  $P$  (rys. 7), o następujących parametrach,  $P = (a, b) = (0, 35)[mm]$ .
- 3.2 Mając do dyspozycji linijkę/papier milimetrowy, zmierzyć przebytą przez robota odległość, tzn. dokonać przejazdu wzdłuż jednej z krawędzi stołu na odległość 30 cm. W trakcie wykonywania pomiarów nie podnosić robota ze stołu.
- 3.3 Porównać powyższą odległość z odległością wynikającą z pomiarów za pomocą odometrii (wyniki w programie *Simulink*).
- 3.4 Wykonać kilkakrotnie przejazd na odległość 30 cm (w przód, następnie w tył). Po powrocie do punktu początkowego odczytać wartość położenia w programie *Simulink*. W trakcie wykonywania pomiarów nie podnosić robota ze stołu.
- 3.5 Ustawić robota na środku planszy.
- 3.6 Obrócić robota o podany przez prowadzącego kąt (np.  $47^\circ$ ).
- 3.7 Porównać wartość wskazaną na kątomierzu z wartością odczytaną z pomiarów (*Simulink*).



Rysunek 7: Punkt centralny kątomierza

### Literatura

- [1] K. Kozłowski and J. Majchrzak, “Nowe algorytmy sterowania nieholonomicznym robotem mobilnym,” in XIV Krajowa Konferencja Automatyki, vol. 2, (Zielona Góra), pp. 625–632, 2002.
- [2] K. Tchoń, A. Mazur, I. Dulęba, R. Hossa, and R. Muszyński, Manipulatory i roboty mobilne. Modele, planowanie ruchu, sterowanie. Warszawa: Akademicka Oficyna Wydawnicza PLJ, 2000.
- [3] T. Jedwabny, M. Kowalski, J. Majchrzak, and G. Wiczyński, “Przykład wielosensorycznego systemu pozycjonowania nieholonomicznego robota mobilnego,” in XIV Krajowa Konferencja Automatyki, vol. 2, (Zielona Góra), pp. 641–646, 2002.